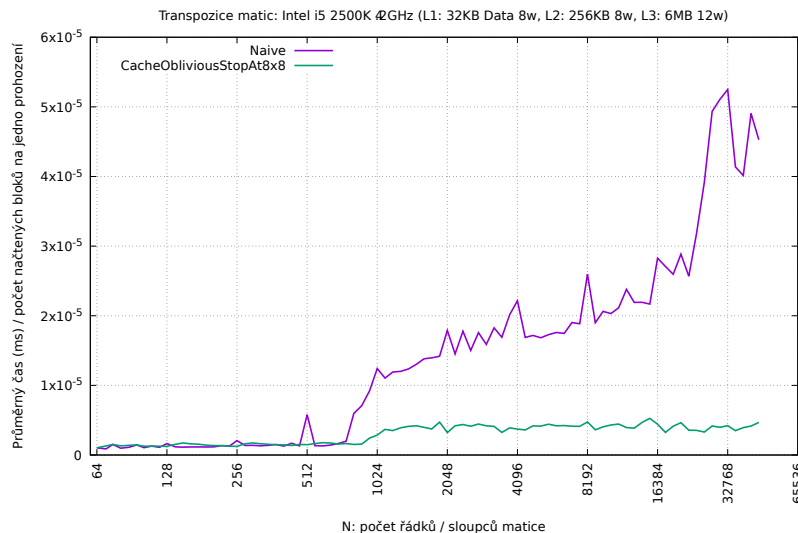


## 0.1 Reálné CPU



Na prvním grafu vidíme porovnání průměrného času na prohození dvou prvků pro naivní algoritmus a rekurzivní cache oblivious algoritmus, který se zastaví na podmatici velikosti 8x8 a dál pokračuje naivně.

### 0.1.1 Cache oblivious

Pro cache oblivious algoritmus jsou zřejmé dva segmenty, s rozhraním okolo cirká  $800^2$  prvků. Skok mezi těmito dvěma segmenty není nikterak výrazný, z  $1.5 \cdot 10^{-6}$  na  $4.0 \cdot 10^{-6}$ .

Tento skok přibližně odpovídá tomu, kdy se celá matice (640000 prvků, 3MB) ještě vleze do L3 cache. Skok tedy začíná trochu dříve než by čistě matematicky měl. I pro  $n == 1000$  (4MB) by se do L3 matice měla vejít celá, nicméně kvůli asociativitě cache a komplikovanosti dnešního HW není úplně překvapivé, že ke zhoršování průměrného času dochází před úplným naplněním.

Byť to z grafu není úplně vidět, tak čistá data naznačují, že podobný skok by mohl být i u hranice velikosti L2 a L3 cache. Konkrétně pro  $n \approx 256$ , kdy se celá matice ještě vejde do L2, se průměrný čas přístupu zvedne z  $1.2 \cdot 10^{-6}$  na  $1.4 \cdot 10^{-6}$ . Kvůli šumu a skokům k vyšším hodnotám pro určitá  $n$  (téměř jistě kvůli asociativitě) se ovšem nedá říct nic s jistotou.

Na rozhraní  $n$  pro matice, které se těsně vejdou do L1 cache žádný pozorovatelný rozdíl není.

### 0.1.2 Naive

U naivního algoritmu jsou jasně pozorovatelné segmenty 3. Od začátku do  $1000^2$  prvků, kde se průměrný čas pohybuje okolo  $1.5 \cdot 10^{-6}$ , tedy stejně jako u cache oblivious algoritmu. Následně do  $20000^2$  prvků, kdy je čas okolo  $1 - 2 \cdot 10^{-5}$ , a nakonec poslední segment, ve kterém čas roste až k  $5 \cdot 10^{-5}$  milisekund na prohození.

První skok odpovídá již dříve popsánému přechodu z toho, kdy se celá matice ještě vleze do L3 cache a kdy už ne. Dokud se vleze, tak je naivní algoritmus, s výjimkou  $n == 512$ , naprosto srovnatelný s cache aware variantou. Pro  $n == 512$  se téměř určitě projevuje asociativita cache. Ta má která má, vzhledem k access patternu, daleko větší dopad v případě naivního přístupu (kde přistupujeme postupě na všechny řádky pod sebou, které jsou od sebe přesně o  $4 \cdot 512B$ ) než v případě cache oblivious.

To že je naivní přístup až do  $n$ , kdy se matice nevejde do L3 cache, srovnatelný s cache oblivious algoritmem jen dále podporuje tezi, že mezi tím, jestli se matice vejde do L1, L2 nebo jen L3 není žádný významně pozorovatelný rozdíl, který by nebyl z větší části vynahrazen cache pre-fetchem a zamaskován ostatními vlivy. Pokud by totiž přesouvání z L3 cache do L1 a L2 mělo výrazný overhead, tak by se tento overhead nutně více projevil v naivním algoritmu (cache oblivious přístup tyto přesuny minimalizuje).

Od  $n$ , kdy se matice už nevleze do L3 cache roste průměrná doba swapu postupně až do  $n \approx 22000$  (matice velikosti 2GB), kdy začne raketově růst z  $2 \cdot 10^{-5}$  k  $5 \cdot 10^{-5}$  milisekundám. Tam se následně, byť v velkém rozptylem, drží až do maximální testované velikostí  $n == 44591$  (7.9 GB).

Tento růst a obecně velký rozptyl v druhém i třetím segmentu si vysvětlují tím, jak je paměť RAM strukturovaná. Za zmínku stojí ještě vyšší průměrný čas vždy když je  $n$  násobkem mocin 2. Z části to bude způsobené tím, že u poloviny přístupů (ty co jdou v rámci řádku) se bude více projevovat cache aliasing (viz výše) způsobený asociativností cache. Z části to může být způsobené také strukturou paměti RAM, nicméně na posouzení toho co má konkrétně jaký vliv nemám dostatečné znalosti.

## 0.2 Simulátor

Na grafu ze simulátoru jsou

